

Elméleti módszerek lipidek és membránfehérjék tanulmányozására

Hegedűs Tamás

tamas@hegelab.org

MTA-SE Molekuláris Biofizikai Kutatócsoport
SE Biofizikai és Sugárbiológiai Intézet



Számítógépes modellezés jelentősége

Atomi szintű információt ad mozgásokról.

Kísérletes módszerek általában nem szolgáltatnak közvetlen információt az atomi szintű történésekről.
(pl. EPR, Xlinks: nem, de NMR: igen)

Fehérjék szerkezetének és dinamikájának jelentősége

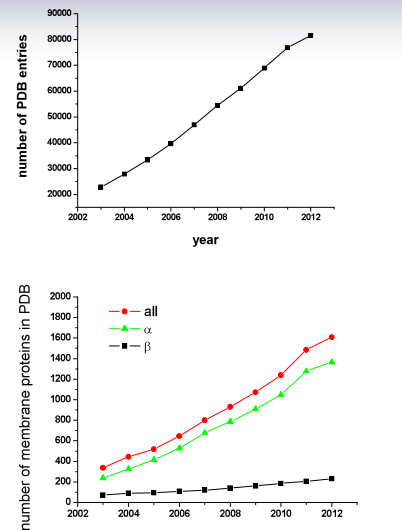
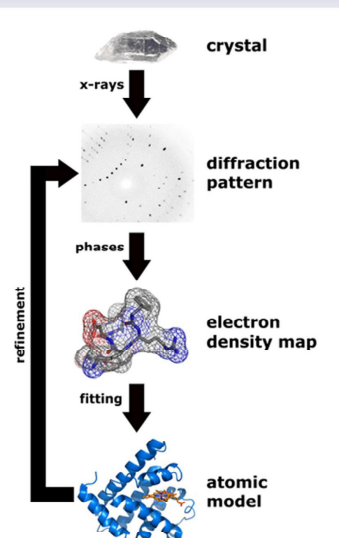
A betegség molekuláris szintű oka?
A gyógyszer-kötő zseb alakja?

37°C-on, oldatban nem egy szerkezet létezik,
hanem egy konformációs sokaság.

Membránfehérjék szerkezeti modellezése

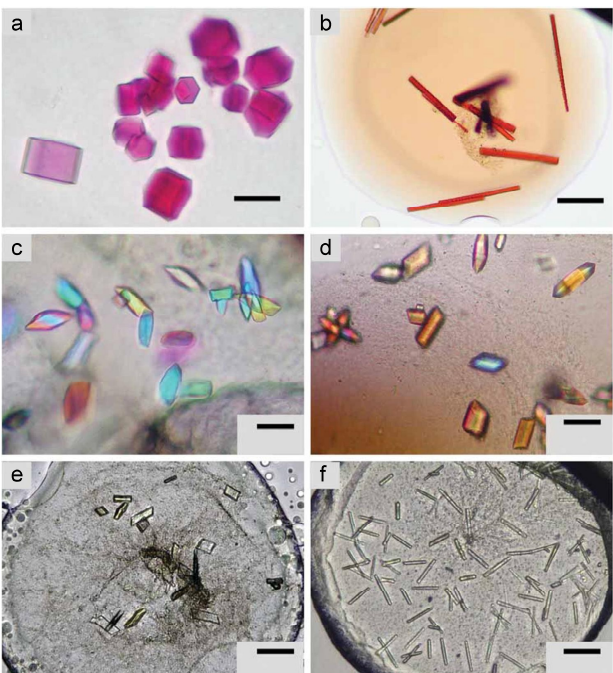
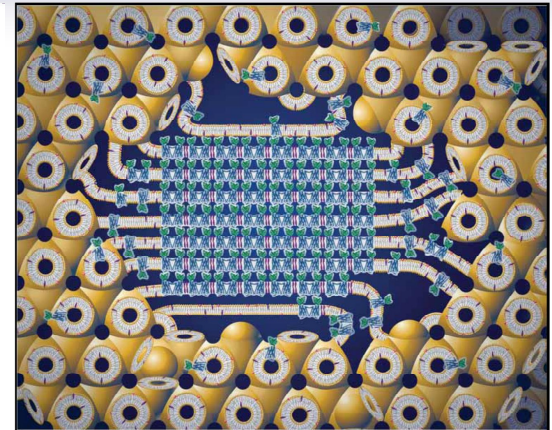
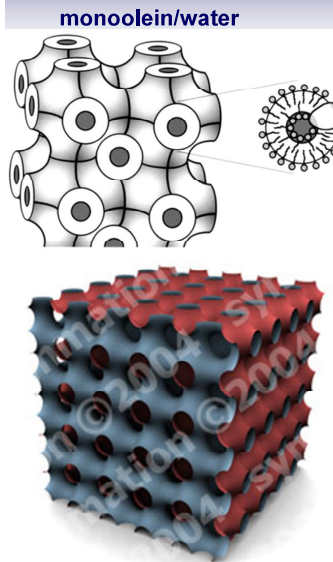
- Kísérleti adatok alapján
- Homológia modellezés
- „Threading” vagy “fold recognition”

Szerkezet meghatározás – Röntgen krisztallográfia



pdbtm.enzim.hu, Tudsány Gábor

Szerkezet meghatározás – cubic phase



Crystals of membrane proteins growing in the lipidic mesophase.

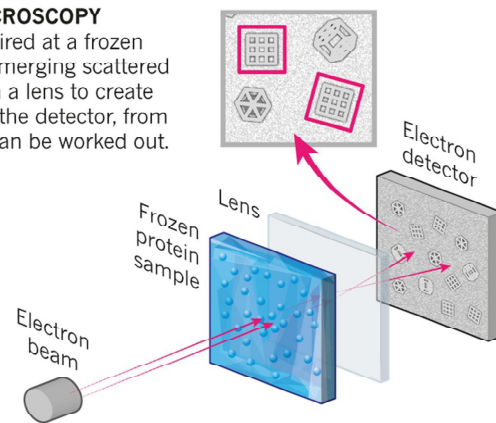
- (a) bacteriorhodopsin
- (b) light-harvesting complex II
- (c) adhesin/invasin OpcA
- (d) vitamin B12 transporter BtuB
- (e) human β 2 adrenergic receptor-T4 lysozyme chimera
- (f) carbohydrate transporter from *Pseudomonas*

Szerkezet meghatározás – „single particle”

Cryo-electron microscopy

CRYO-ELECTRON MICROSCOPY

A beam of electron is fired at a frozen protein solution. The emerging scattered electrons pass through a lens to create a magnified image on the detector, from which their structure can be worked out.



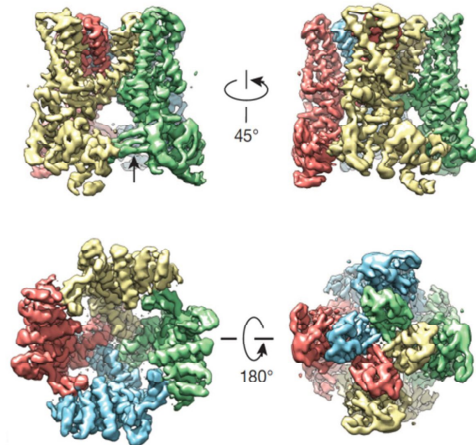
© nature

Ewen Callaway, Nature | News Feature

The revolution will not be crystallized: a new method sweeps through structural biology, 09 September 2015

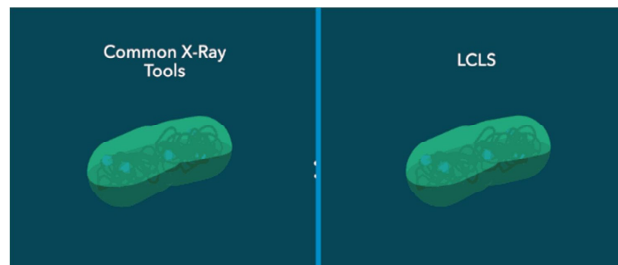
Szerkezet meghatározás – „single particle”

The TRPV1 channel detects the burn of chilli peppers, and this 3.4-Å structure is considered super-hot in the structural-biology world.



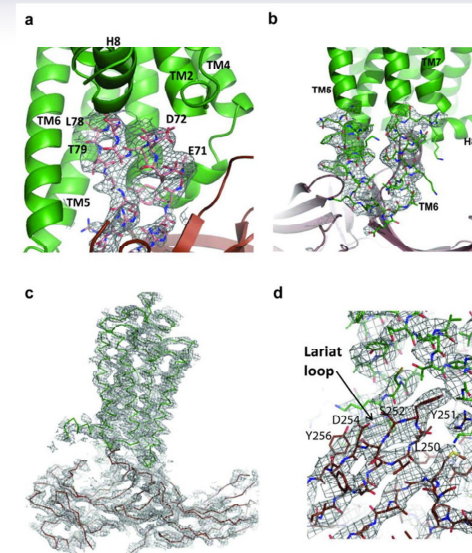
Szerkezet meghatározás – „teljes sejt”

Free Electron Laser (FEL)



Szerkezet meghatározás – „single particle”

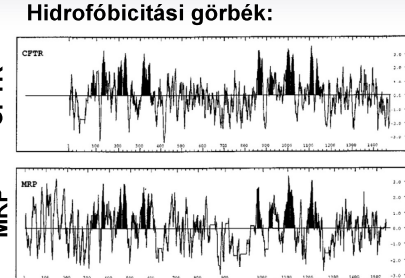
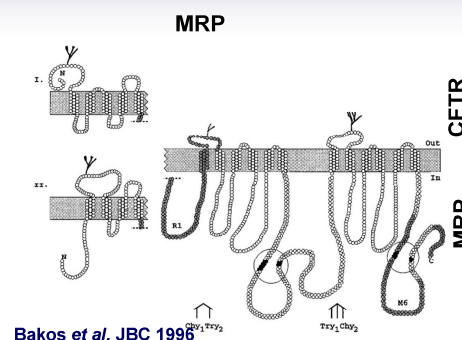
Free Electron Laser (FEL)



Nature. 2015 Jul
30;523(7562):561-7.

Crystal structure of rhodopsin bound to arrestin by femtosecond X-ray laser.

Membránfehérjék topológiája



BAKOS ET AL. JBC 1996

CFTR topológiája kísérletekből ismert
Chang et al. J Biol Chem. 1994 Jul 15;269(28):18572-5

Kísérletes topológia meghatározási módszerek:

- tag – felismerés
 - Cys hozzáférhetőség

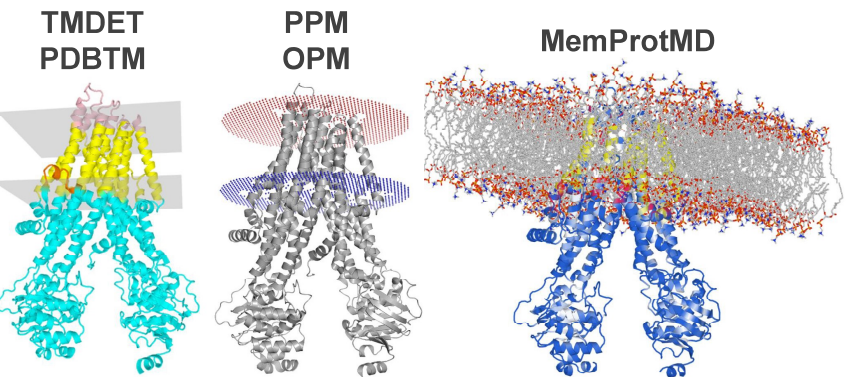
Membrántopológia és TM hélixek predikciója szekvencia alapján

pl. CCTOP.enzim.hu

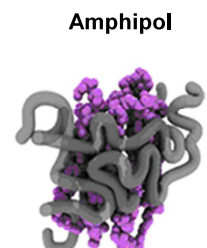
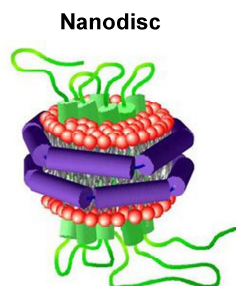
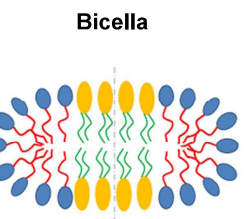
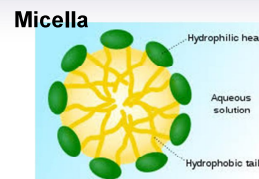
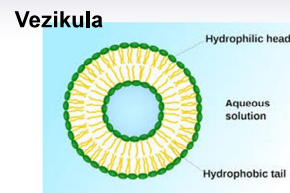
- Szekvencia alapján
- TMH és más részek között más az aminosav eloszlás
- Biológiai tudás figyelembevételenek lehetősége
- Több prediktor integrálása

TM hélixek predikciója szerkezet alapján

1. „water accessible area”, lipid kettősréteg lehetséges helye, pontozás – fitnessz függvény
2. molekula dinamika szimulációk

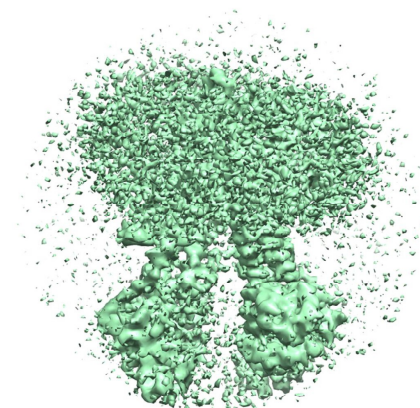


Membrán mimetikumok / membrane mimetics

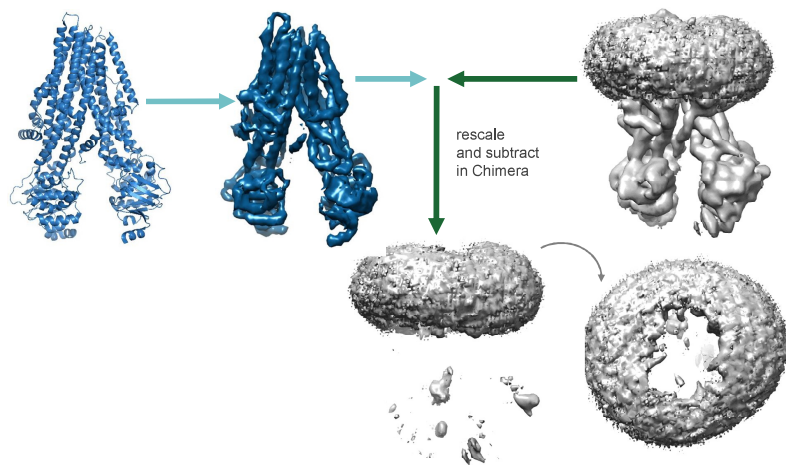


Membrane embedment data is in the
electron density maps

CFTR (PDBID: 5UAK) EMD

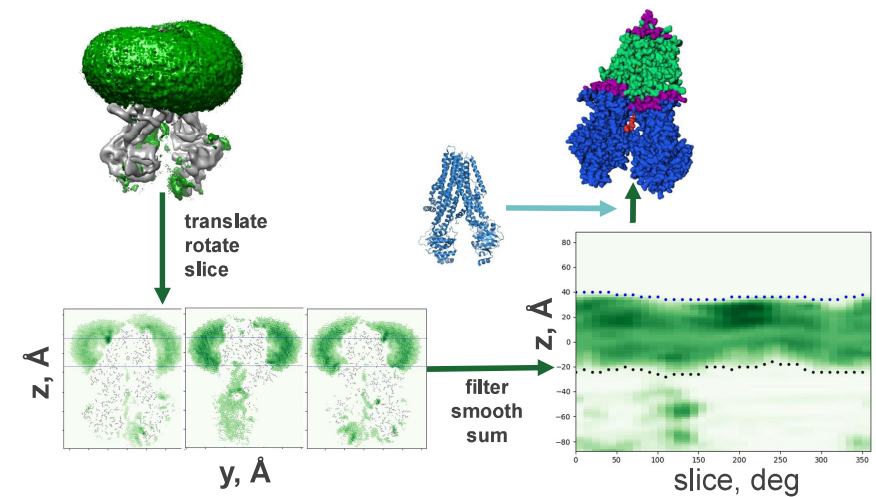


A membrane blob can be extracted from
the electron density map



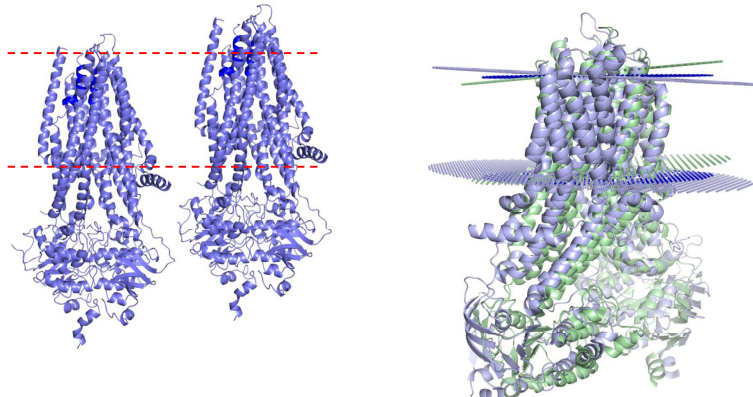
<http://memblob.hegelab.org>

The **memblob** can be converted to
membrane boundaries

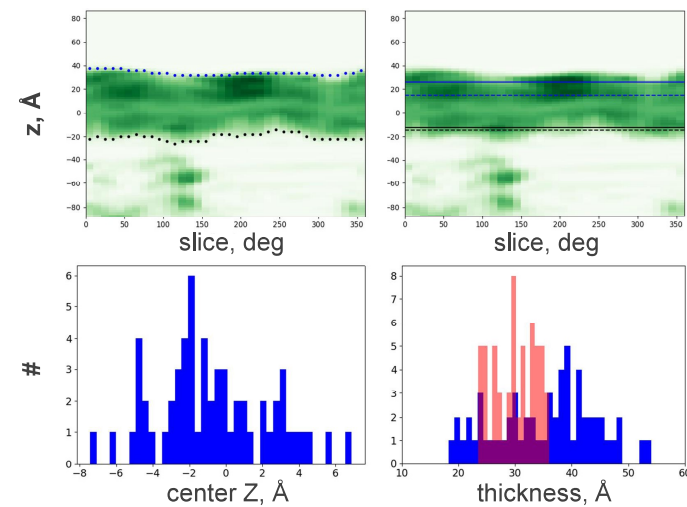


<http://memblob.hegelab.org>

Localization and tilting in a bilayer

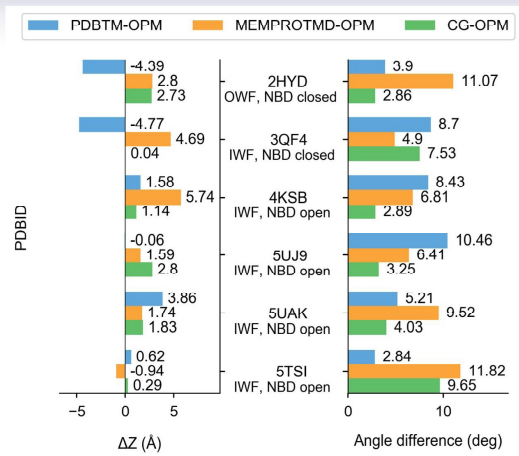


The deeper embedment could protect the
protein



<http://memblob.hegelab.org>

Tilting and localization in a bilayer



Homológia modellezés I.

- Templat keresés
- Szekvencia illesztés
- Modellezés
- Energia-minimalizálás

BLOSUM (BLOCKS of Amino Acid SUbstitution Matrix) matrix
is a substitution matrix

Ala	4
Arg	-1
Asn	-2
Asp	-2 -2 1
Cys	0 -3 3 -9
Gln	-1 1 0 0 -3 6
Glu	0 -2 0 -1 -3 2 -2 6
Gly	0 -2 0 -1 -3 2 -2 6
His	-2 0 1 -1 -3 0 -2 8
Ile	-1 -3 -3 -3 -3 -4 -3 4
Leu	-1 -2 -3 -4 -1 -2 -3 -4 -2 2 4
Lys	-1 1 -1 -1 -1 -1 -1 -1 -2 -1 5
Met	-1 -1 -2 -3 1 0 -2 -3 -2 1 2 -1 5
Phe	-2 -3 -3 -3 -2 -3 -3 -3 -1 0 0 -3 0 6
Pro	-1 -2 -2 -1 -3 -1 -1 -2 -2 -3 -3 -1 -2 -4 7
Ser	1 -1 1 0 -1 0 0 0 -1 -2 -1 -1 -2 -1 4
Thr	0 -1 0 -1 -1 -1 -2 -2 -1 -1 -1 -2 -1 1 5
Trp	-3 -3 -4 -4 -2 -2 -2 -2 -3 -3 -1 1 -4 -3 -2 11
Tyr	-2 -2 -2 -3 -1 -1 -3 -1 -2 -1 -3 -3 -2 -2 7
Val	0 -3 -3 -3 1 -2 -2 -3 -3 3 1 -2 1 -1 -2 2 0 -3 -1 6

Ala Arg Asn Asp Cys Gln Glu Gly His Ile Leu Lys Met Phe Pro Ser Thr Trp Tyr Val

Alignment – pl. ClustalW

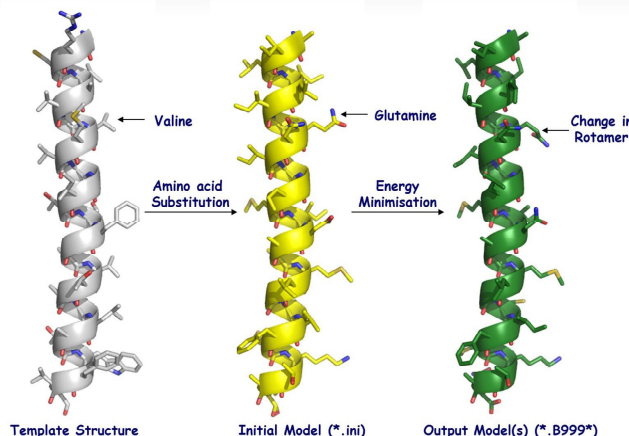
CLUSTAL W (1.83) multiple sequence alignment

```

2HYD      -----MKKRYLQFVK-----PYKYRIFATIIIVGIIKFGIPMLIP
3B5X      -----WQTFKRLWTYIR-----LYKAGLVSTIALVINAADTYMI
CFTR_HUMAN MQRSPLEKASVSKLFFSWTRPILRKGYRQLRLELDIYQIPSVDADNLS
* : : * : * : * : . :
```

	5	10	15	20	25	30	35
2HYD	—	M	I	K	H	P	A
3B5X	—	W	Q	T	F	K	L
CFTR_HUMAN	M	Q	R	S	P	L	E
	—	A	S	V	V	S	K
	—	—	—	—	—	—	—
	—	—	—	—	—	—	—

Homológia modellezés II.

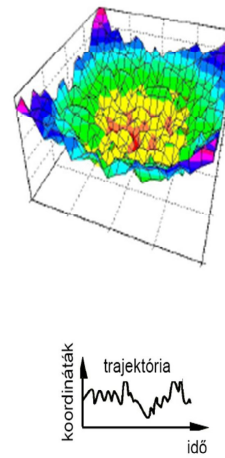


Van szerkezet, mozgassuk meg!

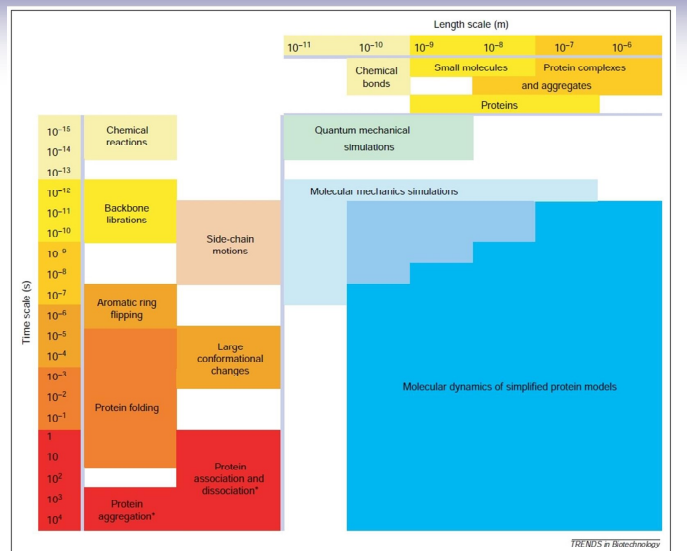
Molecular dynamics

Molekuláris dinamika (MD)

- valós potenciál felület
- mozgás segíteni
- idő-lépésekben numerikus megoldása
- trajektória



„Események” időskálája



F. Ding and N.V. Dokholyan, TRENDS in Biotechnology, 23:450 (2005)

A „force field”

Baker (2007)

$$E_{\text{prot}} = W_{\text{rot}} E_{\text{rot}} + W_{\text{atr}} E_{\text{atr}} + W_{\text{rep}} E_{\text{rep}} + W_{\text{solv}} E_{\text{solv}} + W_{\text{pair}} E_{\text{pair}} \\ + \boxed{W_{\text{mbenv}} E_{\text{mbenv}}} + W_{\text{hbond}} E_{\text{hbond}} - E_{\text{ref}}$$

$$E_{\text{mbenv}} = \sum_i^{\text{natom}} \Delta G_i^{\text{ref}}(z') \quad \Delta G_i^{\text{ref}}(z') - (1 - f(z')) * (\Delta G_i^{\text{ref, chex}} - \Delta G_i^{\text{ref, water}})$$

TABLE II. Atomic Contribution to the Solvation Free Energy in Water and Cyclohexane

	Water	Chex	Water	Chex
CR	-0.890	-1.350	NH3	-20.000
CH1E	-0.187	-0.645	NC2	-10.000
CH2E	0.372	-0.720	N	-1.000
CH3E	1.089	-0.665	OH1	-5.920
CR1E	0.057	-0.410	O	-5.330
NH1	-5.950	-1.145	OC	-10.000
NR	-3.820	-1.630	S	-3.240
NH2	-5.450	-1.145	SH1E	-2.050
				-1.855

Egyszerűsített (Coarse Grain) modellek

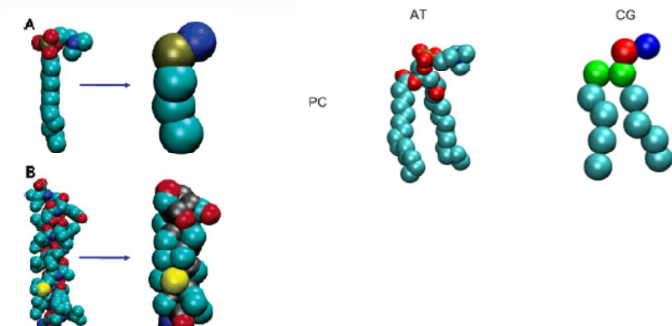


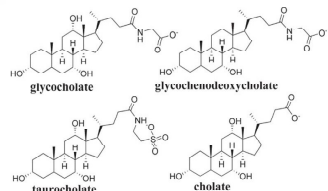
Figure 1. Atomistic (left-hand) and coarse-grained (right-hand) models compared for (A) a DPC molecule and (B) a GpA helix. Colors for atoms:

Sansom, Oxford University
Marrink, Groningen, MARTINI force field

Lipid struktúrák összeszerelődése

Molecular dynamics simulations of glycocholate-oleic acid mixed micelle assembly.

Langmuir 2010, 26(7), 4687–4692



A. Y. Shih et al. / Journal of Structural Biology 157 (2007) 579–592

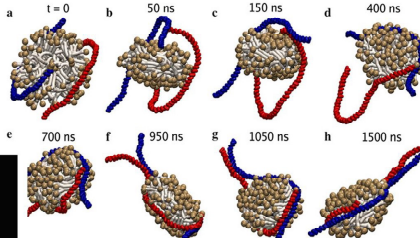
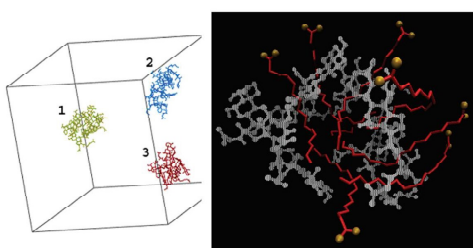
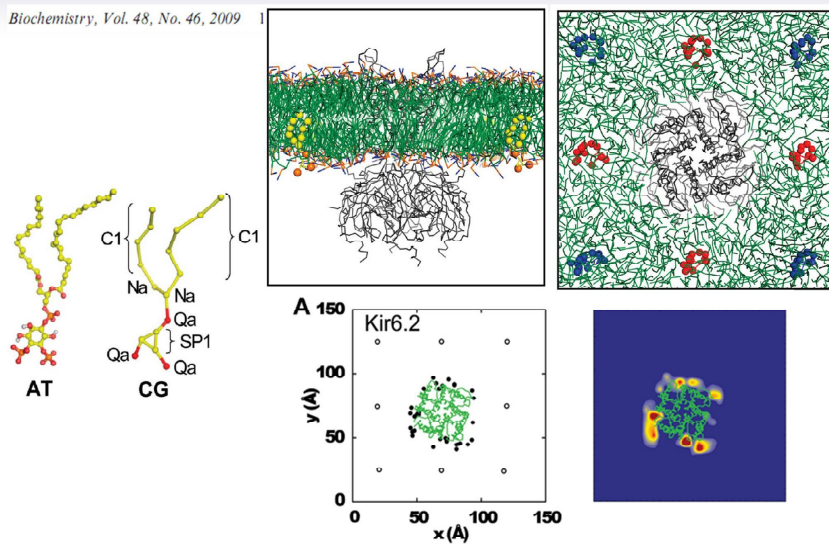


Figure 1. Chemical structures of the four common bile salts: glycocholate, glycochenodeoxycholate, taurocholate, and cholate.



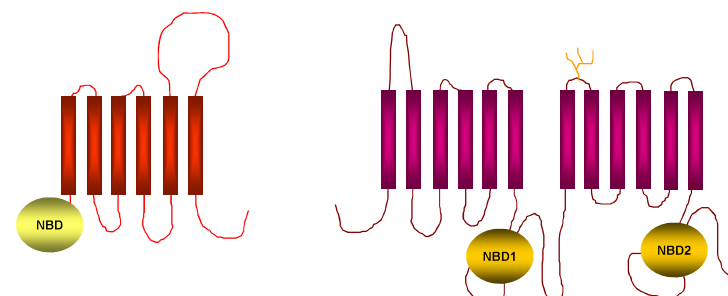
PIP2 kötődése Kir kálium csatornához

Biochemistry, Vol. 48, No. 46, 2009

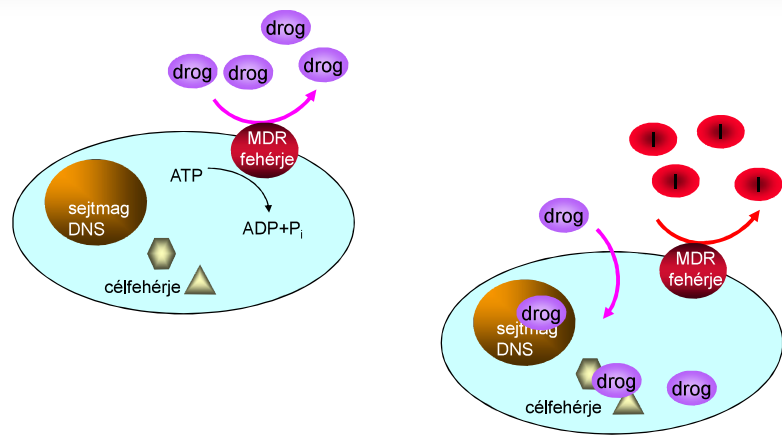


Kettősréteg felépülése a fehérje köré

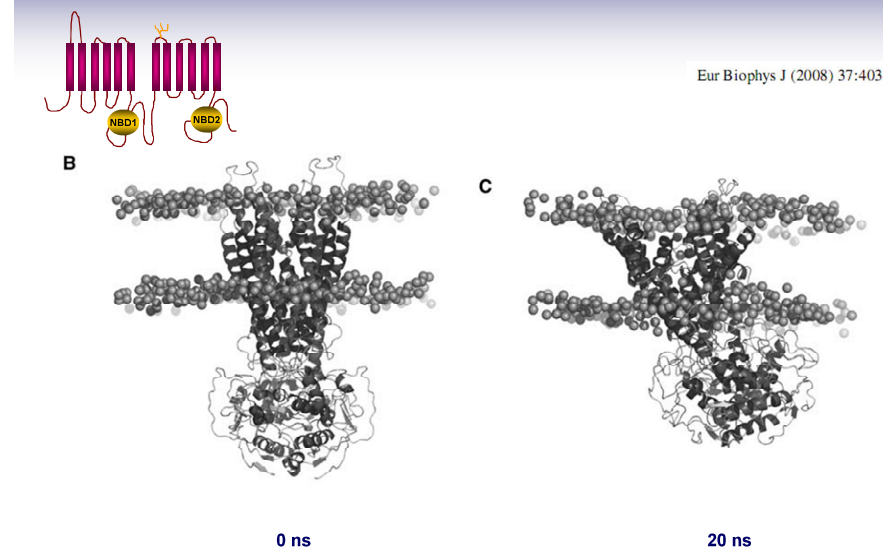
ATP Binding Cassette (ABC) fehérjék



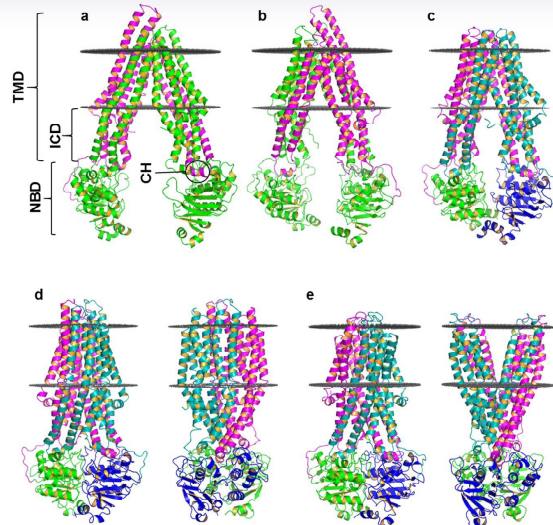
A multidrog-rezisztencia és felfüggesztése



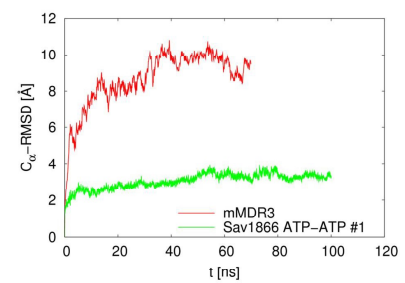
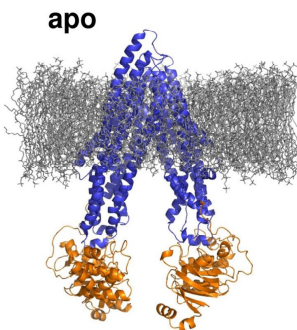
Fehérjék konformációinak stabilitása



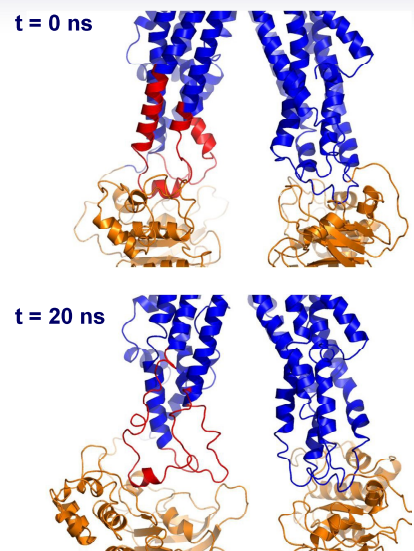
ABC fehérjék konformációi (Type I)



Az alul nyitott apo szerkezet nem stabil

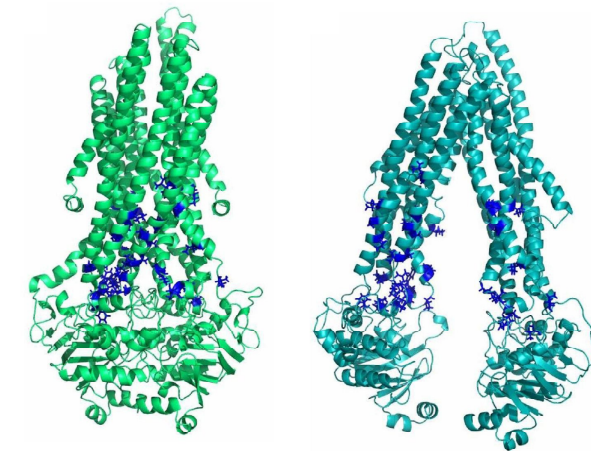


Az alul nyitott apo szerkezet nem stabil



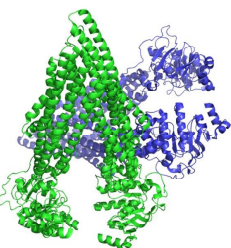
rendszer	megtartott hélixtartalom
Sav1866 ATP/ATP #1	90.04%
hMDR1 holo	91.84%
hMDR1 apo	64.30%
mMDR3	63.13%

Hidrofób aminosavak kerülnek felszínre

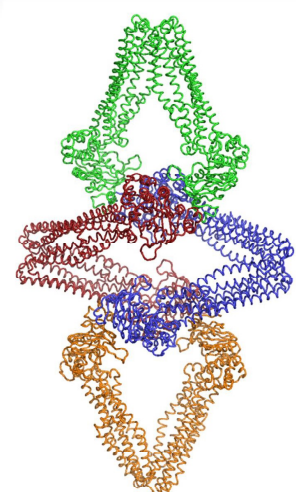


Alul nyitott apo szerkezet elemi cellája

mMDR3, PDBID:3G5U



MsbA, PDBID:3B5W



Események modellezése *biased MD*

- Hogyan befolyásolja az ATP hidrolízise a fehérje dinamikáját?
PI. steered MD
- Hogyan történik meg az átmenet
az „alul-zárt” konformációból az „alul-nyitott” konformációba?
PI. targeted MD